



Corso Luigi Einaudi, 55 - Torino

Appunti universitari

Tesi di laurea

Cartoleria e cancelleria

Stampa file e fotocopie

Print on demand

Rilegature

NUMERO: 1381A -

ANNO: 2015

A P P U N T I

STUDENTE: D Angelo

MATERIA: Geotecnica, Prof. Manassero

Il presente lavoro nasce dall'impegno dell'autore ed è distribuito in accordo con il Centro Appunti.

Tutti i diritti sono riservati. È vietata qualsiasi riproduzione, copia totale o parziale, dei contenuti inseriti nel presente volume, ivi inclusa la memorizzazione, rielaborazione, diffusione o distribuzione dei contenuti stessi mediante qualunque supporto magnetico o cartaceo, piattaforma tecnologica o rete telematica, senza previa autorizzazione scritta dell'autore.

**ATTENZIONE: QUESTI APPUNTI SONO FATTI DA STUDENTIE NON SONO STATI VISIONATI DAL DOCENTE.
IL NOME DEL PROFESSORE, SERVE SOLO PER IDENTIFICARE IL CORSO.**

1

Verifiche progettuali sulle opere geotecniche:

- STATO LIMITE ULTIMO
 - Fattori di portata a valle completo
 - Fattori di sicurezza = n^* x cui moltiplicare i carichi
- STATO LIMITE D'ESERCIZIO
 - No cedim eccessivi e loro riposta durante la vita
 - Nessun fattore di sicurezza x cui moltiplicare

ORIGINI DEI TERRENI

Terreni → Sistemi multifase:

- particelle minerali solide = skeleton
- fluidi interstiziali → liquidi
- ↳ gas

Le fasi interagiscono tra loro.

↳ NAPP (nappati) → effetti idraulici e meccanici

• Origine = disgregazione delle rocce, di tipo:

- MECCANICA → erosione, abrasione, variaz termiche, ghiaccio in fratture → quartz & s.p.c.
- CHIMICA → interazione con O_2 , CO_2 , acidi organici.
 - ↳ minerali sensibili = mica & FELDSPATI
 - ↳ si producono Terreni + fm.
- ORGANICA → acidi carbonico, nitrico, nitroso ed NH_3 .
 - ↳ su superficie

TERRENI RESIDUALI → no trasporto, degradazione in loco

• TRASPORTO → idraulico (in sospensione)

↳ aerea

↳ rotolamento

azione di abrasione e selezione granulometrica

Energia propria del fenomeno → importante x resistenza al trasporto

Grana grossa = resistenza attrittiva, al peso.

↳ resist. gran. angolari → resist gran. arrotondati.

• DEPOSITO → no energia e turbolenza definiscono struttura del deposito → perf. sabbie
 (+ densa/aperta, posiz reciproca dei gran.) ⊕
 ↳ Limi = sensibili al chimismo dell'acqua di deposizione

CLASSI QUALITATIVE DEI TERRENI

- GRANA GROSSA → sabbie, ghiaie
 - ↳ quartz, minerali duri, presenza di mica & feldspati, sabbie carbonatiche in note
 - ↳ porosi di base:
 - dimensione dei gran.
 - rugosità della superficie
- GRANA FINE → limi, argille
 - ↳ silicati, alluminati idrati

↳ Rispondono a sollecitazioni di tipo:

- massa (grana grossa)
- superficie (grana fine)

⊕ Ambienti di deposito: fondamentale
 (marmo emerso)

PARAMETRI → DI BASE = non variano dopo la fine del deposito → disgreg & trasporto
 → DI STATO = variano a seconda del tipo di sollecitazione imposte → deposizione
 ↳ densità
 ↳ stato di sollecitazione geostatica

PARAMETRI FISICI DEL TERRENO

Parametri fisici → volumi e pesi (V e W)

Componenti del terreno → solido, liquido, gasoso

• Il volume totale V dell'elemento di terreno è assunto unitario → intertenano e %

$$V = \underbrace{V_G + V_W}_{V_V} + V_S \quad \rightarrow \quad \begin{aligned} & \bullet V = V_{TOT} \\ & \bullet V_G = V_{GAS} \\ & \bullet V_W = V_{ACQUA} \end{aligned} \quad \begin{aligned} & \bullet V_S = V_{SOLIDI} \\ & \bullet V_V = V_W + V_G = V_{VOTI} \end{aligned}$$

Variabili indipendenti di portanza sono 5 (V_G, V_S, V_W, W_S, W_W), ma riferendoci a V=1 restano 4 variabili

- Porosità, m% → $n = \frac{V_V}{V} \cdot 100$ (%) } Relazioni: $n = \frac{e}{e+1}$ $e = \frac{n}{1-n}$
- Indice dei vuoti → $e = \frac{V_V}{V_S}$ } $\rightarrow \begin{cases} 0 \leq n \leq 1 \\ e \geq 0, \text{ perché: se } V_V = V \Rightarrow V_S = 0 \Rightarrow e \rightarrow \infty \end{cases}$
- Grado di saturazione → $S = \frac{V_W}{V_V} \cdot 100$ (%)
↳ S=1 (100%) ↔ saturazione

• Contenuto d'acqua w → $w = \frac{W_W}{W_S} \cdot 100$ (%)

• γ = peso di volume = rapporto tra il peso di un volume ed il suo volume.
↳ noi usiamo il peso dell'unità di volume

- γ Totale → $\gamma = \frac{W}{V}$
- γ della parte solida → $\gamma_s = \frac{W_S}{V_S}$
- γ dell'acqua → $\gamma_w \sim 9,81 \frac{KN}{m^3}$
- γ del terreno secco → $\gamma_d = \frac{W_S}{V}$

↳ γ_d < γ, la differenza è data da γ_w
Terreno nudo ad asciugare, gli è tolta acqua
⇒ V = V_s + V_v

- γ del terreno immerso → $\gamma' = \gamma - \gamma_w$ → Stesso terreno, nudo sott'acqua, peso di più. È il peso dei grani di terreno de stia sott'acqua
- γ dei grani = gravità specifica → $G_s = \frac{\gamma_s}{\gamma_w}$
- Peso specifico (gravità specifica) Totale → $G = \frac{\gamma}{\gamma_w}$ → Varia poco, al max ~ del 25%.
⇒ negli es spesso si considerano G_s e γ_s costanti

Convenzioni:

- Grana grossa → si usa indice dei vuoti; contenuto d'acqua è poco importante
- Grana fine → si usa contenuto d'acqua, si definisce e addensamento (esi, onde in condiz sopresale, nessuno a mantenere indiz di addensamento).

→ SLIDE n° 36 → Peso → Massa: $W (KN) = M (kg) \cdot 9,81 \frac{m}{s^2}$

⇒ Peso dell'unità di volume → Densità: $\gamma \left(\frac{KN}{m^3} \right) = \rho \left(\frac{kg}{m^3} \right) \cdot 9,81 \frac{m}{s^2}$

• Relazione: $e = \frac{w \cdot G_s}{S}$

↳ Perargilla → mezzo saturo ⇒ S=1 ⇒ relazione univoca tra e e w
⇒ grado di addensamento può essere indicato con entrambi.
Per sabbie non velle ca; sopra felice il valore di saturazione non è noto con sicurezza

• Relazione: $\gamma_d = G_s \cdot \gamma_w (1-n)$

• Relazione: $e = \frac{G_s \gamma_w - \gamma_d}{\gamma_d}$ → essendo γ_w e G_s ~ cost ⇒ q_{st} e in regime univocato di

CUCCHIAIO DI CASAGRANDE

- Su un piano di vetro mescolo materiale + acqua, x avere un materiale omogeneo (w cost in ogni punto).
- Metto materiale nel cucchiaino, si fa il cerchio standard
- Girando manovella, esso ottiene un cerchio = colpi, si contano i colpi fino a che il disco non si divide.
- Taglio il campione attorno al raso e lo peso
 $\Rightarrow M_{umido} = M_{secco} + M_{acqua}$
- Metto in forno, 24h a 105°, per trovare M secco
- Determino Ww ed il contenuto d'acqua w
- Ottengo delle coppie di coordinate (ricami - w) da mettere in un grafico
- Traccio rette di regressione lineare
- Convenzione: prendo il punto a 25 colpi, il w corrispondente e il w_L

• W_p = LIMITE PLASTICO

w in corrispondenza del quale il terreno inizia a perdere il suo comportamento plastico (ovvero, e' tanto secco da fessurarsi).

Bostoniani orotolati a 3,2 mm (ad occhio)

continuando ad orotolare ed aggiungere acqua, ad un certo w si rompe e fessura. Ovvero: facendo delle prove, se vedo che si fessura \Rightarrow sono oltre al limite.

• W_s = LIMITE DI RITIRO

w al di sotto del quale una perdita di acqua non comporta più alcuna riduzione di volume di un campione indisturbato.

Si essicca e si misura il campione

Dal w_s in poi, le variazioni di w non mutano più il volume (tramite e), ma solo il grado di saturazione

INDICI CORRELATIVI

• INDICE DI PLASTICITA'

$$I_p = PI = w_L - w_p$$

Intervallo di w in cui il materiale si comporta in modo plastico, non si fessura, ha permeabilità più bassa

• INDICE DI LIQUIDITA'

$$LI = \frac{w - w_p}{w_L - w_p}$$

Dove: w = contenuto d'acqua corrente

• INDICE DI CONSISTENZA:

$$I_c = 1 - LI = \frac{w_L - w}{w_L - w_p}$$

Al variare dei suoi valori, crescono resistenza e rigidità

E' il parallelo di D_r per i terreni a grana fine.

Si è verificato che, al limite dello stato plastico:

- $w \sim w_L \Rightarrow$ resistenza al taglio $\sim 1,5 kPa$
- $w \sim w_p \Rightarrow$ resistenza al taglio $\sim 150 kPa$

Suzione = pressione di acqua all'interno della superficie.

I limiti, per lo stesso oggetto, variano a seconda dei minerali che contiene.

CARTELLA DI PLASTICITA' DI CASAGRANDE - slide 16

Variabili del grafico $\rightarrow PI, LL(w_L) \rightarrow$ entrambi determinati in Laboratorio

- le 2 rette verticali dipendono solo da LL, indipendenti da PI

- Linea A \rightarrow equazione:

$$PI = 0,73 w_L - 20$$

Prendo un terreno; ne determino LL e PI, trovo il mio punto sul grafico.

A seconda dell'area in cui giace il punto, lo classificherò diversamente

• SOPRA LINEA A

\Rightarrow argille inorganiche, plasticità crescente da Sx a D_x

• SOTTO LINEA A

\Rightarrow argille compressibilità crescente da Sx a D_x

$\leftarrow \Rightarrow$ argille organiche

Per capire se il materiale è organico o no:

- Determino LL normalmente, e peso.

- Faccio partire in forno a 600°C

- Ripeto la prova e ripeso.

- Se la resa del campione varia meno del 6% \Rightarrow inorganico

- In altre, è organico trattiene molto acqua senza perdere il comportamento plastico \Rightarrow prima orotolo LL alto, e dopo il forno LL molto basso.

Si dimostra che: $Tg \varphi = Tg \alpha \Rightarrow \varphi = \alpha \Rightarrow$ il blocco scivola
 $\varphi = \alpha \Rightarrow$ condiz. limite di equilibrio
 $\varphi > \alpha \Rightarrow$ equilibrio, blocco fermo

DIFFERENZA BULLONE E TIRANTE

BULLONE = funzionamento passivo, agisce solo quando il blocco inizia a scivolare

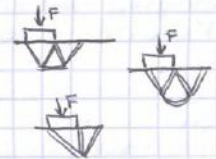
TIRANTE = può essere allungato all'infinito, così tende a riannoverarsi e ad applicare uno sforzo S continuamente sul blocco. Non devono essere previsti al piano.



METODO DELL'EQUILIBRIO LIMITE → pag 5

È un metodo non rigoroso, fa molte approssimazioni ed errori, ma è utile (foto de Colomb) Serve a applicare meccanica del corpo rigido a problemi riguardanti il terreno (che non è un corpo rigido). Al tempo di Colomb non esistevano concetti di deformazione (introdotti da Cauchy)

ESEMPIO → Fondazione superficiale (F = peso della struttura
 vogliamo calcolare il carico limite decisi pro' agire sopra.



1. Immagino i possibili cinesatimi di rottura (due doppie = possibili superfici di scorrimento)
2. Immagino che le varie parti, disegrate si comportino come corpi rigidi, faccio l'equilibrio tra i vari blocchi → determino il carico limite, per ciascun caso.
3. Tra tutti, scelgo il caso + critico, ovvero quello corrispondente al valore + basso di carico limite

STABILITÀ DI UN CONO DI TERRENO

Determiniamo cos'è φ per un terreno (e se si può determinare con analisi penetrometrica). Rovesciando della sabbia, essa forma un cono, la cui pendenza dipende dall'attrito granulometrico tra le particelle.

Immagino che, al suo interno, si creino delle superfici di scorrimento inclinate di α . Per applicare Colomb a questo problema:



identifico 2 blocchi rigidi → (sotto, stabile / sopra, instabile)

Se suppongo di non avere cinesatura (tutti i granuli separati)

⇒ Ottergo la stessa condizione limite:

$Tg \alpha = Tg \varphi \Rightarrow \alpha = \varphi$

dove φ = angolo di riposo di un terreno, angolo d'inclinazione naturale di un pendio di terreno.

Tale resistenza al taglio del terreno riflette la resistenza al taglio tra i vari granuli (micro si riflette nel macro).

⇒ Angolo di attrito φ ha un significato fisico, dipende dai granuli e dallo stato loro.

SISTEMA DI SPOSTAMENTI COMPATIBILI

Tale spostamento avviene senza competizione o strappo di materia

ESEMPIO DI POLIGONO DELLE FORZE

Per dimensionare un muro che deve reggere un terreno, disegniamo un possibile cinesatimo di rottura.

P_c = forza che si scambiano terreno e muro.

- ↳ Se è troppo piccola per chiudere il poligono ⇒ il sistema non è in equilibrio.



TEOREMA DELL'ESTREMO SUPERIORE DELL'ANALISI LIMITE → pag 11

Molto simile al Teorema dell'equilibrio limite. Vediamo le differenze

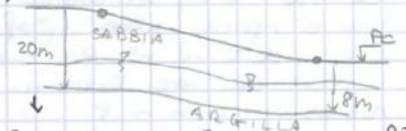
- 1) Entrambi devono ipotizzare un cinesatimo di rottura, ma qui tale cinesatimo dev'essere compatibile. Lo si verifica con le costruzioni grafiche, pligono degli spostamenti.
- 2) Equilibrio limite = si ragiona con le eqoz della statica dell'equilibrio. Ora = si ragiona col PLV
- 3) Questo Teorema non ci fa trovare il carico limite, ma si può solo trovare un'approssimazione per eccesso del carico limite reale (di Colomb).

Vantaggio: è un metodo esatto e rigoroso; invece, Colomb è approssimativo e non si sa se è cautelativo.

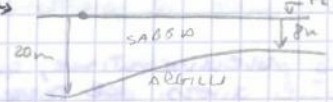
Schede dei sondaggi → formato standard.

- Data inizio/fine sondaggio
- Quota analizzata:
 - Se PC = orizzontale, e sondaggi non vicini ⇒ valore di quota analizzata del PC non è essenziale
 - Se PC non è orizz., e le distanze non significative ⇒ valore essenziale
- Metodi di perforazione:
 - 1 = non consente rilievo di campioni
 - 2 = con campionamento, ricato info relative alle caratteristiche del terreno.
- Si indica il rilievo di campioni, e se sono disturbati o no.
- Ruolo, della prova dinamica
- Descrizione del terreno, spesso diviso in categorie (ghiaie, sabbie, ...) e segni grafici per rappresentazione e miscela dei Tipi
- Grado di qualità → dato variabile x i vari campioni, si possono info molto diverse.
 - ↳ grado min ⇒ disturbo max
 - Per le prove meccaniche ⇒ serve il max livello di qualità, cioè campioni indisturbati, ed è possibile fare x campioni granulari fini.
 - Ghiaie e sabbie → non può prelevare campioni indisturbati

Esempio: 2 sondaggi a 2 profondità ≠:



Se non nota le quote analizzate dei 2 punti del PC, potremmo avere l'impressione che l'argilla stia volando



Linea nella sabbia = livello della falda

CAMPIONAMENTO NEL FORO A SONDAGGIO

Carotieri fanno teste taglianti, sono rfm, nel terreno a rotazione (Scalpellini, miscelatori sono rfm a percussione)

Spendere delle pareti e riportate. Coefficiente di parete → $c_p = \frac{D_s^2 - D^2}{D^2} \cdot 100$

- $c_p > 15\%$ ⇒ campionatore a parete spessa, adatta x granne grosse
- $c_p < 15\%$ ⇒ campionatore a parete sottile, x rilievo di campioni poco disturbati

Tubicavi, al fondo c'è valvola di chiusura → lunghezza ~ 1m
D. interno standard = 100mm

Al limite inferiore dei campioni, prova estesa, oelli allargatori

Per campioni indisturbati, → campionatori a pistone

↳ campionatore Osterberg
↳ Azione di perforazione, è miscelato il fluido che rifugge a pressione un tubo nel terreno. Poi, tubo ritirato ⇒ si apre una valvola, l'acqua defluisce, si riduce la pressione nella camera ⇒ il tubo torna su il campione

A base profondità, alternativa è prelevare campioni cubici. Dimensioni grandi, L ~ 50 cm. Rientrano poco di disturbo, prove di laboratorio sono affidabili.



PIEZOMETRI

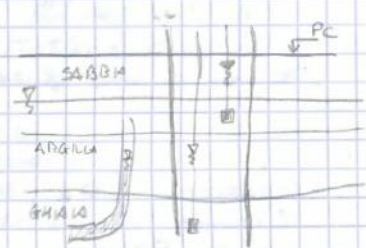
Vari tipi, ad esempio → a tubo aperto → Casagrande e il + usata. Sono realizzati in un foro di sondaggio. E' fatto da una cella porosa che permette una misura accurata del carico idraulico a profondità volute.

Esempio:

C'è 1 falda nella sabbia. In ghiaie c'è acqua, il cui livello nel tubo è quello. Ho 2 strati in cui posso avere 1 falda ⇒ faccio 1 foro di perforazione ed installo 2 celle, (una ad ogni profondità), collegate a 2 tubi rigidi in PVC da cui si vede il segno di risalita dell'acqua e si può verificare il livello di pressione.

Alla base e alla sommità della cella in senso dei sigilli (tappi) core bentonitica (fatta da natron-silice)

Relazione tra pressione dell'acqua e livello di risalita → $u = \gamma_w \cdot h_w = \left\{ \frac{KN}{m^3} \right\} \cdot m = \left\{ \frac{KN}{m^2} \right\} = \left\{ KPa \right\}$



- **GRAFICO (q_c, D_r)**
L'angolo di resistenza al taglio cresce al crescere di D_r
- **GRAFICO (N_{SP}, ϕ)**
Parto dalla formula di Skempton per trovare D_r , poi col grafico di prima. Trovo ϕ . Così, ho una correlazione diretta tra N_{SP} e ϕ
- **GRAFICO (q_c, ϕ)**
- **GRAFICO (E, N_{SP})**
 E = modulo di Young recente. Ci dice qual'è la risposta del terreno al tentativo di infissione.
Si distinguono 2 rette:
 - SABBIA NC = normal consolidated
In questo mondo hanno il massimo carico mai avuto (Tipo appena depositate).
 - SABBIA OC = overconsolidated = sovracosolidata
Nella loro storia tensionale hanno subito valori di carichi verticali superiori a quelli che hanno ora. (Tipo rota e dopo un'erosione).
- **GRAFICO ($E/q_c, q_c/\sigma_{vm}$)**
Ritrovo il modulo di Young a partire dalla resistenza alla punta di un penetrometro statico. C'è onde è influenza della tensione verticale.
Si fanno 3 diversi campi, per ogni tipo di deposito: OC, NC, NC+AGW.
 $NC+AGW$ = sabbie depositate di recente ma che hanno subito processi di invecchiamento, che formano la struttura del materiale + scuro (ad es, la caduta del $CaCO_3$ da evento).

PLT

PROVA DI CARICO SULLA PIASTRA

Si misura il cedimento, e si ricava il modulo di resistenza del terreno.
Però noto, solo a pochi valori di terreno, perché la profondità investigata è il doppio del sito della prova, troppo poco a prova geotecnica.

VANTAGGI E SVANTAGGI

VANTAGGI DELLE PROVE IN SITO (rispetto a quelle in Laboratorio)

- 1) S'indaga a volume di terreno maggiore
=> Definizione dei caratteri macrostrutturali
in lab => uso piccole porzioni di terreno, e quindi potrà prendere una parte con stati diverse (terreno non è omogeneo)
- 2) Registrazione continua dei parametri lungo la verticale di prova
=> Definizione di peculiarità stratigrafiche.
in lab => prendo solo campioni a distanze stabili, e discrete (10m, 15m, ...)
- 3) Si possono indagare terreni dei quali è oneroso prelevare campioni, ad esempio ghiaia (a volte è congelata, ne è ancora).
- 4) Rapidità ed economicità

LIMITAZIONI

- 1) La natura del materiale indagato non è identificata direttamente (ad eccezione della SP).
Ad es => prove con onde sismiche => si determina la rigidità in modo indiretto, tramite la velocità di trasmissione delle onde
- 2) Il problema al contorno da risolvere per l'interpretazione non è sempre ben posto dal punto di vista matematico.
in lab => posso controllare unidiret., tensione, altezza di falda, ...
- 3) Il terreno non è del tutto indisturbato; per le prove in profondità devo fare un foro; il grado di disturbo prodotto dall'inserimento di alcune mole di prova è tale da confondere l'interpretazione della prova al momento di passare all'analisi empirica.

Il dimensionamento delle opere è fatto sulla base della caratterizzazione geotecnica

Tutti i discorsi sugli spostamenti sono a meno di un fattore di scala; è importante e di rapporti tra i vettori siano gli stessi.

DIAGRAMMA DEGLI SPOSTAMENTI

Imposto uno spostamento virtuale iniziale di quella funzione \rightarrow scelta arbitraria \Rightarrow è ritenuto noto per trovare direzione e valore degli altri spostamenti \rightarrow poligono omologo

- Spostamenti assoluti \rightarrow spostamenti dei corpi rispetto ad il sistema di riferimento fisso, x, y, z, i cui assi sono paralleli alle superficie di scorrimento \rightarrow $S_a, S_b, \dots \rightarrow$ origine in O
- Spostamenti relativi \rightarrow di un corpo rispetto all'altro, paralleli alle superficie di separazione tra i corpi \rightarrow $S_{ab}, S_{af}, \dots \rightarrow$ congiungono gli apici degli spostamenti assoluti

PRINCIPIO DEI LAVORI VIRTUALI \rightarrow Slide 15

Si deve avere contemporaneamente 3 circostanze

1. Equilibrio del sistema di forze (e tensioni)
2. Congruenza degli spostamenti (e delle deformazioni) = spostamenti possibili
3. Somma dei lavori virtuali nulla

Lavori e lavori virtuali perché non devo scegliere lavori conseguenti alle forze e agli spostamenti, ma a piacere

Se ho: - spostamenti conseguenti \Rightarrow ho anche una d. lavori virtuali nulla, esistente in 3 sistemi non sono conseguenti tra loro.

\Rightarrow Bastano 2 di queste condizioni, ed automaticamente è verificata anche la terza.

Utilizzare degli spostamenti permette l'applicazione del PLV per trovare equilibrio di un sistema di corpi rigidi. Se non nel piano \Rightarrow equaz di bilancio dei lavori sostituisce l'equaz di equilibrio.

ESEMPIO

- Equilibrio di rotazione x le forze:

$$F_1 \cdot b_1 = F_2 \cdot b_2$$

- Impongo un rotazione infinitesima $\delta\theta$, che provoca gli

spostamenti S_1 e S_2 nei punti di applicazione delle forze:

$$S_1 = b_1 \cdot \text{Tg} \delta\theta = b_1 \cdot \delta\theta \quad ; \quad S_2 = b_2 \cdot \text{Tg} \delta\theta = b_2 \cdot \delta\theta$$

- Calcolo i lavori virtuali (moltiplico e sist. di forze x le sist. di spostamenti), e dev'essere nulla:

$$F_1 \cdot b_1 \cdot \delta\theta - F_2 \cdot b_2 \cdot \delta\theta = 0$$

- Se considero anche R, ottengo la stessa equaz della trazione verticale:

$$F_1 \cdot \delta s_1 + F_2 \cdot \delta s_2 - R \cdot \delta s_2 = 0 \quad \Rightarrow \quad F_1 + F_2 = R$$

Quindi, per i corpi indeformabili:

- per poter applicare PLV, cinematici e deformazioni devono essere conseguenti
- forze e spostamenti devono essere conseguenti, ma non conseguenza va dall'altro
- PLV esiste di scrivere un'equaz alternativa a quelle dell'equilibrio le fanno riferimento ai gradi di libertà del sistema

9

Per i Terzenni non ci sono direzioni prevalenti, estendo in 3D spazio \Rightarrow bisogna tornare all'origine dei gradi di deformazione dei corpi

Problemi di equilibrio in campo statico \rightarrow riduce superficie a sistemi rigidi finiti \rightarrow n° vincoli \leq gdl

Se n° vincoli $>$ gdl \Rightarrow sistema iperstatico \rightarrow x valore le reazioni dei vincoli si prende in considerazione la deformabilità del sistema stesso.

\Rightarrow S'introducono tensioni e deformazioni

Osservo un sistema da lontano

\Rightarrow il dato agente come una forza su un punto, si vola come vettore fisico

Osservo + da vicino

\Rightarrow il contatto non è puntuale, si sviluppa su un'area finita

\Rightarrow Forza σ data da:

$$F = \int_A \sigma dA$$

dove: σ = tensioni esterne sull'area del solo che sto considerando, vettori + picoli, + del piano di contatto

• Definizione esplicita di tensione $\rightarrow \sigma = \lim_{dA \rightarrow 0} \frac{dN}{dA} \rightarrow$ tensioni e forze nodi al piano di rif

Si specifica l'elemento per $dA \rightarrow 0$

x ke' bisogna il vettore i, coseno

ad aree infinitesime, x ke' le a possono

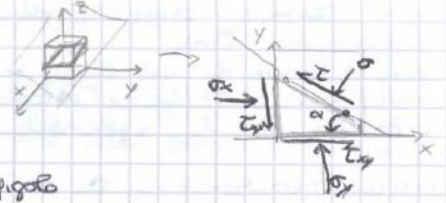
variare da punto a punto

$$\tau = \lim_{dA \rightarrow 0} \frac{dT}{dA} \rightarrow$$

tensioni e forze T_τ della superficie

CONVENZIONI DI SEGNO PER I CERCHI DI MOHR

Considero il prisma che si crea tagliando il cubetto con un piano qualsiasi.



- $\sigma > 0$, se di compressione
- $\tau > 0$, se tendono a far ruotare il corpo in senso antiorario (non ha convergente e il segno divergente, in ogni spigolo)
- $\alpha > 0$, se l'angolo del piano dal piano x e gira in senso antiorario fino all'asse x

\Rightarrow In questa convenzione, ho antisimmetria: $\tau_{yx} = -\tau_{xy}$

Imponendo l'equilibrio di questo prisma, Trovo l'equazione che definisce il cerchio di Mohr (in modo generico):

$$\begin{cases} \tau = \frac{\sigma_x - \sigma_y}{2} \sin 2\alpha - \tau_{xy} \cos 2\alpha \\ \sigma = \frac{\sigma_x + \sigma_y}{2} + \frac{\sigma_x - \sigma_y}{2} \cos 2\alpha - \tau_{xy} \sin 2\alpha \end{cases} \rightarrow \sigma, \tau \text{ esplicitate rispetto a } \sigma_x, \sigma_y, \tau_{xy}, \text{ che sono note su 2 piani tensionali}$$

PIANI PRINCIPALI

Sono piani su cui agiscono solo tensioni normali, e (in valore assoluto) tali tensioni sono anche la MIN e la MAX che Trovo in quel punto.

Sono piani posti a $\frac{\pi}{2}$ tra loro, hanno sempre questa caratteristica: Trovato un piano principale $\alpha \Rightarrow$ anche il piano $\alpha + \frac{\pi}{2}$ sarà principale

\Rightarrow in 3D \rightarrow 3 piani mutuamente \perp

in 2D \rightarrow ho 2 piani su cui agiscono le tensioni σ_1 e σ_3 , la MIN e la MAX

$$\begin{cases} \tau = 0 \\ \sigma = \frac{\sigma_x + \sigma_y}{2} \pm \sqrt{\left(\frac{\sigma_x - \sigma_y}{2}\right)^2 + \tau_{xy}^2} \end{cases} \text{ per } \alpha = \frac{1}{2} \arctg \frac{2\tau_{xy}}{\sigma_x - \sigma_y}$$

Riscrivendo le espressioni di σ e τ rispetto ai piani principali, ovvero con (le direzioni x, y sono anche le direzioni principali):

$$\begin{cases} \sigma_x = \sigma_1 \\ \sigma_y = \sigma_3 \\ \tau_{xy} = 0 \end{cases}$$

$$\begin{cases} \tau = \frac{\sigma_1 - \sigma_3}{2} \cdot \sin 2\alpha \\ \sigma = \frac{\sigma_1 + \sigma_3}{2} - \frac{\sigma_1 - \sigma_3}{2} \cos 2\alpha \end{cases}$$

EQUAZIONE DEL CERCHIO DI MOHR, nel piano (σ, τ)

- rispetto alle tensioni principali $\rightarrow \tau^2 + \left(\sigma - \frac{\sigma_1 + \sigma_3}{2}\right)^2 = \left(\frac{\sigma_1 - \sigma_3}{2}\right)^2$
- formula generale $\rightarrow \tau^2 + \left(\sigma - \frac{\sigma_x + \sigma_y}{2}\right)^2 = \left[\left(\frac{\sigma_x - \sigma_y}{2}\right)^2 + \tau_{xy}^2\right]$

Ogni punto generico sulla circonferenza rappresenta lo stato tensionale (in termini di σ, τ) di punti tagliati da piani inclinati di agerzici

- P = polo di proiezione dei piani
- Piani principali \rightarrow intersecano il cerchio in $(\sigma_3, 0)$ e $(\sigma_1, 0)$.
 \rightarrow Sono distanti $\frac{\pi}{2} \Rightarrow$ verificano l'equazione
- σ_2 = terza tensione principale, nel caso 3D, agisce su un piano \perp al foglio
- Angolo α_p delle tensioni principali:
 $\tan 2\alpha_p = \frac{2\tau_{xy}}{\sigma_x - \sigma_y}$

Potrebbe indicare entrambi i piani, se la tensione MAX o la MIN.

\Rightarrow Se $(\sigma_x - \sigma_y) > 0 \Rightarrow \alpha_p$ è riferito al piano della tensione principale MIN

- Stato tensionale isotropo \rightarrow il cerchio di Mohr si riduce ad un punto nero, e τ non sempre e comunque nulla, qualsiasi siano i piani
- Non esiste no stato tensionale di taglio puro, ovvero $\tau \neq 0$ con $\sigma = 0$?



\rightarrow il polo di proiezione coincide con τ_{xy}
 \Rightarrow Non può esistere un tensore di questo tipo, né è l'unico caso in cui a τ si annullano \rightarrow caso isotropo

- Spostare il polo sul cerchio di Mohr \rightarrow equivale a ruotare i piani di riferimento xey rispetto al stato fermo.
Alcune componenti dello stato tensionale restano uguali \rightarrow invarianti

11 Deformazione = risultato dello spostamento relativo di due punti appartenenti ad un mezzo continuo e deformabile
 Termini sono big deformazioni, ma noi ci occupiamo solo di piccole deformazioni (+ semplici),
 x le piccole deformazioni → non è necessario aggiornare le coord dei punti del solido rispetto al suo d.r.f. fissa; cioè spostamento relativo è infinitesimo rispetto alla geometria in esame

Deformazioni → visibili e misurabili
 Tensioni → ricavate da misure di deformazione

DEFORMAZIONE LONGITUDINALE → Slide 4

Derivato dello spostamento rispetto ad 1 asse di riferim, fatto in direzione di allungamento o accorciamento (tensione)

Provocano allungamento/accorciamento delle fibre in direzione // allo spostamento

$$\epsilon_x = \frac{\partial u}{\partial x} = \frac{dx - dx'}{dx}$$
 → definito così per piccole deformazioni, per elementi infinitesimi, ovvero per $dx - dx' \ll dx$

Lo spostamento ha 2 parti:

- spostamento rigido = cost
- spostamento dovuto alle deformazioni → $\int \epsilon_x dx$

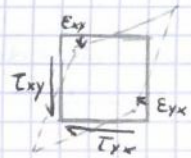
DEFORMAZIONE PER DISTORSIONE (o Tangenziali) o D. TAGLIO

↳ Solo pure. Non accorciano né allungano le fibre del sistema, ma distorcono l'elemento, ne variano l'inclinazione dei lati, allungando le diagonali. A parità di volume, cambia la forma dell'elemento.

D. fatto, sono degli angoli in radianti. Sempre valori molto piccoli.

Taglio puro = più evidente quando con conseguenza di deformazioni longitudinali ortogonali di segno opposto e uguale entità (prendendo il rombo mixtato nel quadrato ruotato di 45°)

$\epsilon_{xy}, \epsilon_{yx}$ = angoli dei lati dell'elemento deformato
 ↳ fanno riferimento al deformato
 Il segno è dato dalla tensione di taglio che è determinata; in questo caso:



- $\epsilon_{xy} > 0$ → dato da $\tau_{xy} > 0$ (convenzione di Mohr) → Antiorario
- $\epsilon_{yx} < 0$ → dato da $\tau_{yx} < 0$ → Orotario

In parti oltre:

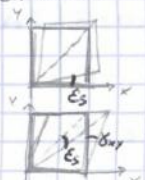
• $\epsilon_{xy} = \frac{\partial v}{\partial x} = \frac{\gamma_{yx}}{2}$ → $\epsilon_{xy} = \epsilon_{yx}$ → per la convenzione di segno del tensore.
 ↳ invece, x la convenzione dei cerchi di Mohr → $\epsilon_{xy} = -\epsilon_{yx}$

Per comodità, si chiama: $\epsilon_{xy} = \epsilon_s$ → deformazione di taglio puro

Questo è messo in relazione con la deformazione di taglio semplice $\gamma = 2\epsilon_s$

↳ recupero → γ è fatto da 1 componente di deformazione pura ed una di rotazione rigida

invece → ϵ_s = sola componente di distorsione pura

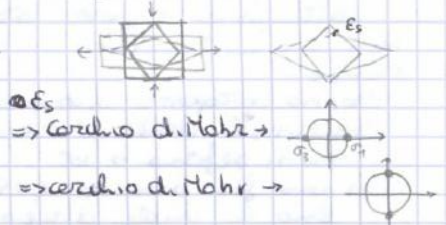


DEFORMAZIONE DI TAGLIO PURO → Slide 7

Principio vederla da 2 diversi sistemi di riferimento, inclinati di 45° tra loro.

1) Distorsione pura, sottoposto l'elemento a compressione verticale e trazione orizzontale, ottengo deformazioni longitudinali.

Ma se considero il rombo interno → angoli interni sono → ϵ_s



2) Rotazione rigida
 ↳ Ottengo la deformazione di taglio semplice



TENSORE DELLE DEFORMAZIONI → Slide 9

$$\begin{bmatrix} \epsilon_x & \gamma_{xy}/2 & \gamma_{xz}/2 \\ \gamma_{yx}/2 & \epsilon_y & \gamma_{yz}/2 \\ \gamma_{zx}/2 & \gamma_{zy}/2 & \epsilon_z \end{bmatrix}$$

↳ vogliamo le stesse proprietà del tensore delle tensioni
 Lo stato deformativo in un punto è descritto completamente dalle 6 componenti di deformazione, (si riducono a 3 nel piano)
 Matrice simmetrica ⇒ 6 componenti

- ↳ ϵ_i = deformazioni longitudinali
- ↳ γ_{ij} = deformazioni di taglio puro o semplice

ANGOLO DI DILATANZA $\rightarrow \sin \psi = -\frac{\epsilon_y}{|\delta_{max}|} = -\frac{\epsilon_1 + \epsilon_3}{\epsilon_1 - \epsilon_3}$
 $\rightarrow \tan \psi = -\frac{\epsilon_y}{|\delta_{NE}|}$

DISTORSIONE SUI PIANI DI NON ESTENSIONE $\rightarrow \delta_{NE} = \frac{du}{dy} = (\epsilon_1 - \epsilon_3) \cdot \sin 2\alpha$
 L'ACCORTIMENTO LOCALIZZATO E SIFACI DI SCORRIMENTO

Quando (ad es. \rightarrow Frane) in un terreno s'individua zone, zone (1 stabile e altro instabile) separate da 1 banda di taglio (o superficie di scorrimento)

\Rightarrow le tensioni in concentrate su quella superficie, in campo piano



Lungo qst superficie ha un direttore di NE

Possiamo pensare un vettore di momento relativo che da la direzione dello spostamento del cuneo instabile.

Tale vettore è inclinato di ψ rispetto alla banda di taglio.

\Rightarrow onde se un materiale scorre per oblio, non è detto che si muova sempre // alla banda, c'è un componente \perp alla superficie, che fa aumentare di volume gli elementini (a causa dell'ingranamento dei grani)

Banda di taglio = superficie appesa, senza discontinuità (nessun distacco o sovrapposizione di materiale)

SIMMETRIA ASSIALE slide 19

Per prove triassiali \rightarrow considero un elemento cilindrico sottoposto ad un carico verticale σ_1 ed a carichi orizzontali $\sigma_2 = \sigma_3$.

$\Rightarrow \begin{cases} \sigma_1 = \sigma_a \rightarrow \text{Tensione assiale} \\ \sigma_2 = \sigma_3 = \sigma_r \rightarrow \text{Tensioni radiali} \end{cases} \rightarrow$ sono uguali nelle 2 direzioni, in campo elastico (fino a rottura)

Le relative deformazioni:

$\Rightarrow \begin{cases} \epsilon_1 = \epsilon_a \\ \epsilon_2 = \epsilon_3 = \epsilon_r \end{cases} \rightarrow \begin{cases} \epsilon_v = \epsilon_a + 2\epsilon_r \\ \epsilon_s = \frac{2}{3}(\epsilon_a - \epsilon_r) \end{cases} \rightarrow \begin{cases} p = \frac{\sigma_a + 2\sigma_r}{3} \\ q = \sigma_1 - \sigma_3 \end{cases}$

Si usano le notazioni \rightarrow

Considerando onde gli invarianti delle tensioni, si può dimostrare che le barre compiono vol:

$$\delta_w = \sigma_a \delta \epsilon_a + 2\sigma_r \delta \epsilon_r = p \delta \epsilon_v + q \delta \epsilon_s$$

DEFORMAZIONE PIANA slide 19

In una delle direzioni ortogonali non vi sono deformazioni; ma ciò non implica quasi mai che la tensione di quella direzione sia nulla:

$\epsilon_n = 0 \nRightarrow \sigma_n \neq 0$

$$[E] = \begin{bmatrix} \epsilon_x & \gamma_{xy} & 0 \\ \gamma_{yx} & \epsilon_y & 0 \\ 0 & 0 & 0 \end{bmatrix}$$

Ad es \rightarrow muro di sostegno indefinitamente esteso (digo) $\rightarrow z \gg x, y$

Tutte le sezioni // piano (x,y) non si allontanano né avvicinano quando carico

\Rightarrow stato di deformazione piano $\rightarrow \epsilon_z = 0$

Ma $\rightarrow \sigma_z \neq 0$

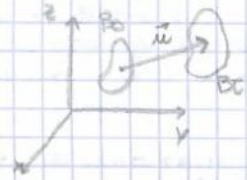
TENSIONI PIANE

Sono dei 3 piani ortogonali non ha tensioni $\rightarrow \sigma_n = 0$

Ma ciò non implica che $\epsilon_n = 0$

13

Un corpo solido, in configurazione iniziale B_0
 A seguito di tensioni, può variare posizione, volume, forma, ovvero i punti di B_0 possono essersi spostati in B_t di un vettore \vec{u}



$\vec{u} \rightarrow$ definisce un campo vettoriale $\rightarrow \vec{u} = \vec{u}(\vec{x}, t) \Rightarrow \begin{cases} u_x = u(x, y, z, t) \\ u_y = v(x, y, z, t) \\ u_z = w(x, y, z, t) \end{cases}$
 $u, v, w =$ componenti della spostamento nelle 3 direzioni.

DEFORMAZIONE \rightarrow 2 parti:

- Traslazioni e rotazioni rigide (corpo non deformato)
- Deformazioni che variano la forma del corpo \rightarrow "Strain"
- ↳ Sono quelle che ci interessano, varia lo stato tensionale
- Per vedere come varia lo spostamento nell'intorno di un punto \Rightarrow ci riferiamo alle derivate del vettore spostamento
- \Rightarrow Tensore delle deformazioni \rightarrow funzione tensoriale che ci dice come variano le deformazioni e quindi le tensioni

Deformazioni angolari \rightarrow portano ad un cambiamento di forma del materiale

Un terreno, con taglio semplice, può aumentare o diminuire il volume per la sua natura poro cellulare.

- Elemento di volume con addestramento minimo e max volume dei vuoti
 => Sottoposto a taglio → le poro cellule cadono nei vuoti presenti, tra poro cellule contigue
 => Diminuzione di volume, indice dei vuoti minimo e max densità
- Elemento di volume con addestramento max
 => percolo nuovo, aumento di volume

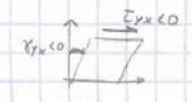


CONVENZIONI DI SEGNO X CERCHI DI DEFORMAZIONE

1. $\begin{cases} \epsilon_{ii} > 0 \Leftrightarrow \text{contrazione} \\ \epsilon_{ii} < 0 \Leftrightarrow \text{estensione} \end{cases}$ $\begin{cases} \sigma_{ii} > 0 \\ \sigma_{ii} < 0 \end{cases}$

2. $\begin{cases} \gamma_{ij} > 0 \Leftrightarrow \tau_{ij} > 0 \Leftrightarrow \text{produce rotazione antioraria} \\ \gamma_{ij} < 0 \Leftrightarrow \tau_{ij} < 0 \Leftrightarrow \text{produce rotazione oraria} \end{cases}$

Devo immaginare le tensioni corrispondenti e determinare il segno



3. Sul piano di Mohr → $\alpha > 0 \Leftrightarrow$ diretti in senso antiorario a partire dal piano deformato

14

→ 2 famiglie → elasticità e plasticità
 Leggi costitutive → servono a risolvere completamente il problema al contorno dei solidi continui, + esse il problema della determinazione delle componenti tensoriali deformative del mezzo continuo.
 Descrivono il comportamento meccanico dei materiali in esame
 => permettono di legare le tensioni alle deformazioni, in modo specifico per ogni materiale

Tensioni e deformazioni + equilibrio e congruenza = 3+3 = 6 eq. di equilibrio-congruenza

Ma → 12 magnitudi nei tensori di Tensioni e deformazioni
 Servono le variabili indipendenti dei 2 tensori come vettori → $E = \begin{bmatrix} \epsilon_{xx} \\ \epsilon_{yy} \\ \epsilon_{zz} \\ \gamma_{xy} \\ \gamma_{xz} \\ \gamma_{yz} \end{bmatrix}$ $\sigma = \begin{bmatrix} \sigma_x \\ \sigma_y \\ \sigma_z \\ \tau_{xy} \\ \tau_{xz} \\ \tau_{yz} \end{bmatrix}$

→ una relazione costitutiva completa, per legare i due vettori, potrà essere rappresentata (nel caso generale) con una matrice 6x6
 Spesso → problema al contorno è semplificato con i dati isotropici piano o assiale simmetrico
 => si completano le leggi costitutive, avrete di ridurre i parametri

COMPORIMENTI MECCANICI IDEALI DI BASE DEI SOLIDI DEFORMABILI

- ELASTICO-LINEARE
 Tutte le deformazioni e l'energia immagazzinata sono recuperate totalmente.
 Incrementi di deformazione sono direttamente proporzionali agli incrementi di carico (idem x deversari).
 Posso dire solo dopo aver scaricato, nel corpo noto soltanto la plasticità Linea di carico = scarico
- RIGIDO-PERFETTAMENTE PLASTICO
 Non recupera le deformazioni della fase di carico
 Dissipa tutta l'energia immagazzinata.
 Al percolare del carico → deformazioni definite

Combinando i comportamenti di base:

- ELASTICO-NON LINEARE
 Linea di carico = scarico, ma non è lineare
 Tutto il carico è restituito
- ELASTO-PLASTICO
 Comportamento misto simile alla realtà
 Parte iniziale = elastico-lineare
 Poi → sempre + plastica, fino ad una σ_y orizzontale → punto di MAX
 Scarico → la parte di deformazioni elastiche è recuperata
 La parte relativa al plastico è dissipata

Noi utilizzeremo: elastico-lineare → problemi di stati limite di esercizio (ceduta)
 → rigido-perf. plastico → problemi agli stati limite ultimi

COEFF. DI POISSON

Confinamento laterale del terreno è tanto maggiore quanto tanto è il coef. ν
 ma resta comunque in un range: $0 < \nu < 0,5$

Non esistono casi di $\nu > 0,5$. Se cos. fosse, avrei un K negativo (se carico qualcosa, esso si espande e poi torna a posto \Rightarrow energia spunta)

• Per $\nu = 0,5$
 $\Rightarrow \mu \rightarrow \infty \Rightarrow$ il materiale elastico lineare è in realtà indefornabile, ^{generalmente} per qualunque forza lo applichi.

Se ottengo le tensioni \Rightarrow noto le diverse $\sigma_1 = \sigma_2$

Prendendo 2 campioni, uno libero e l'altro nella edometria.

Li carico assialmente

\Rightarrow a parità di carico, si deforma di più quello nero vincolato

Ad es: $\left\{ \begin{array}{l} \text{vincolato} \rightarrow 0,45\% \\ \text{libero} \rightarrow 0,5\% \end{array} \right.$

CONDIZIONI DI ASSIAL SIMMETRIA

	Tensioni	Deformazioni	
Deviatoriche \rightarrow	$q = \sigma_1 - \sigma_2$	$\epsilon_s = \frac{2}{3}(\epsilon_1 - \epsilon_2)$	$\Rightarrow \begin{Bmatrix} S_q \\ S_p \end{Bmatrix} = \begin{bmatrix} 3G & 0 \\ 0 & K \end{bmatrix} \begin{Bmatrix} S_{\epsilon_s}^e \\ S_{\epsilon_v}^e \end{Bmatrix}$
IsoTropo \rightarrow	$p = \frac{1}{3}(\sigma_1 + 2\sigma_2)$	$\epsilon_v = \epsilon_1 + 2\epsilon_2$	

Usate per provini di laboratorio sottoposti a prova triassiale facendo riferimento a queste tensioni e deformazioni, le equazioni sono semplificabili

Queste espressioni possono essere combinate x il calcolo del tasso dell'unità di volume del solido deformabile in corpo assial-simmetrico

16

Campione di qualunque materiale \rightarrow avendo il carico generico \Rightarrow si raggiunge un limite oltre cui le deformazioni non sono recuperate, non permanenti

\Rightarrow Si parla di plasticizzazione, inervamento, o anche rottura o resistenza limite

A seconda del tipo e della storia tensionale, i terreni possono appartenere a 3 tipi di plasticità (3 sottocategorie):

• **MODELLO ELASTO-PLASTICO IDEALE/PERFETTO**



Raggiunta la tensione di inervamento, le deformazioni proseguono indefinitamente, senza variazioni dello stato tensionale \rightarrow non buona x ing. Ponderoso di limite di rottura o resistenza limite, definite mediante criteri di resistenza a rottura

• **MODELLO ELASTO-PLASTICO INCRUDENTE**



Il limite del comportamento elastico è definito mediante un criterio di plasticizzazione, superato il quale le deformazioni sono permanenti, ma il carico varia:

Dal tale limite, la tensione può aumentare in modo non lineare fino ad un massimo orizzontale, da dove la condizione limite

\Rightarrow la rottura avviene non in corrispondenza della prima plasticizzazione, ma successivamente.

Sotto questo materiale a ciclo di carico/scarico, si può ampliare il campo elastico. Però, non cresce la resistenza, lo stato limite ultimo è sempre lo stesso.

È il materiale preferibile x ingegneria: una volta superato il limite, mantiene ancora un po' di elasticità prima di deformarsi tanto.

• **MODELLO ELASTO-PLASTICO RANMOLENTI**



Il limite del comportamento elastico è definito mediante un criterio di plasticizzazione, superato il quale le deformazioni sono permanenti, ma il carico varia.

Si ottiene alcuni picchi di resistenza in campo elastico

Oltre a questo limite il carico diminuisce, e perdono la resistenza.

Terreni \rightarrow idealizzati come elastoplastici ideali

\Rightarrow Criterio di inervamento \equiv rottura

INVILUPPO DI ROTURA DEI MATERIALI PURAMENTE ATRITIVI

In assenza di acqua nei vuoti interstiziali → comportamento = materiale puramente attritivo
 ⇒ il materiale ha resistenza al taglio solo in presenza di una componente tensionale di tipo isotropo

Avremo uno stato di sforzo indefinibile che scivola sul piano orizzontale
 la resistenza allo scorrimento è: $T = N \mu$

⇒ inizia a scivolare quando $T = N \tan \varphi$

Per analogia, in un materiale porri cellulare, si definisce il criterio di rottura

$T_n = \sigma_n \tan \varphi$

→ dove: T_n = tensione tangenziale di taglio mobilizzante, rispetto al piano di riferimento

σ_n = tensione normale al p.p. sul quale agisce T_n

Sul piano di Mohr (T, σ)

l'inviluppo è dato da 2 rette

uscite dall'origine degli assi, inclinate di $\tan \varphi$.

Tra le 2 rette → dominio elastico

Cerchi di Mohr tangenti, rappresentano lo stato tensionale limite nelle zone critiche del sodo considerato; servono a porre il materiale alla plasticizzazione

Considera un elemento di terreno sollecitato a rottura da

2 tensioni principali: $\sigma_1 = \sigma_3$; $\sigma_2 = \sigma_1$

⇒ Polo di proiezione $P \equiv \sigma_1$

Il piano di scorrimento non è quello dove agisce T_{max} ,

ma sono i piani in cui il rapporto T/σ diventa critico

(cioè è massimo), ovvero i punti $N(\sigma_n, T_n)$ in cui il

rapporto di attr. $T_n/\sigma_n = \tan \varphi$

Tali piani di rottura - taglio sono inclinati, rispetto al piano

su cui agiscono le tensioni principali, di:

$\beta = 45^\circ + \frac{\varphi}{2}$

Se il mezzo è ipotizzato plastico perfetto

⇒ questi piani coincidono con le direzioni di NE

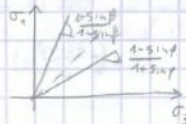
Possiamo esprimere questo criterio di rottura attraverso gli invarianti:

- PIANO (T, s) → $t = s \tan \alpha = s \sin \varphi$

$\frac{T}{s} = \frac{\sigma_1 - \sigma_3}{\sigma_1 + \sigma_3}$

- PIANO ($\sigma_1; \sigma_3$) = ($\sigma_2; \sigma_n$) →

$\frac{\sigma_1}{\sigma_3} = \frac{1 + \sin \varphi}{1 - \sin \varphi} = \tan^2(45^\circ + \frac{\varphi}{2})$



→ Tra le 2 rette = dominio elastico

la retta a retta, inclinata di 45° , è lo stato tensionale isotropo

⇒ Si definiscono → $K_p = \text{coef. di spinta passiva} \rightarrow K_p = \tan^2(45^\circ + \frac{\varphi}{2})$
 $K_a = \text{coef. di spinta attiva} \rightarrow K_a = \tan^2(45^\circ - \frac{\varphi}{2}) \rightarrow k_a = \frac{1}{K_p}$

INVILUPPO DI MORR-COULOMB

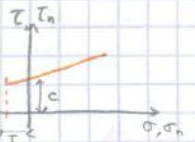
Combina comportamento di materiali puram coesivi (Terra) e di puram attritivi.

⇒ Tiene conto di entrambe le componenti della resistenza di un materiale.

Sul piano (σ, T):

Inviluppo → equazione riferita alle tensioni sui piani di scorrimento:

→ $T_n = c + \sigma_n \tan \varphi$



In corrispondenza della superficie, che può essere mobile x materiali maccheriti, ci sono dissipazione di energia in calore, le deformazioni sono permanenti
 ⇒ comportamento classico descritto da leggi di flusso

Sul piano (s, t)

⇒ $t = c \cdot \cos \varphi + s \cdot \sin \varphi$

$a = \text{adesione} = c \cdot \cos \varphi$

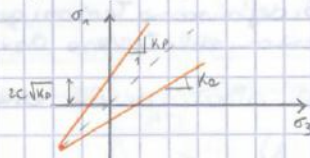
Nelle rocce e nei terreni, l'inviluppo è modificato, viene riferito

nel rispetto delle scd, ovvero è ridotto in limite di resistenza a trazione minore di quello individuato dal poligono dell'inviluppo originario

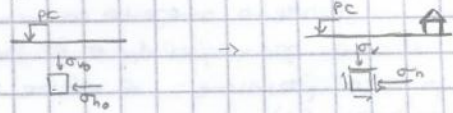


Sul piano (σ_1, σ_3)

⇒ $\sigma_1 = 2c \sqrt{K_p} + \sigma_3 K_p$



Il pedice "0" indica le sono in cond. geostatiche, ovvero all' inizio del problema.
 Se, partendo da queste condizioni, aggiungo delle strutture sul PC, creo disimmetrie
 => genero tensioni Tg
 => non sono + rispettate le condizioni geostatiche



EQUAZ. INDEF. DI EQUIL. IN DIREZ. VERTICALE

$$\frac{\partial \sigma_x}{\partial z} + \frac{\partial \tau_{xz}}{\partial y} + \frac{\partial \tau_{zy}}{\partial x} = \gamma, \text{ con } \tau_{xy} = \tau_{yx} \Rightarrow \frac{\partial \sigma_{vo}}{\partial z} - \gamma = 0$$

Dove: $\gamma = \rho \cdot g \rightarrow$ peso dell'unità di volume di terreno

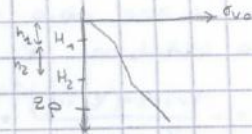
Per determinare σ_{vo} , integro:

per $z=0 \Rightarrow \sigma_{vo} = 0 \Rightarrow \sigma_{vo} = \gamma z \Rightarrow$ aumenta con la profondità, in modo lineare, pendenza $\gamma: \Delta z / \Delta \sigma_{vo} = 1/\gamma$

Per le colte: la tensione verticale in un punto è la somma dei pesi degli strati sopra: (ovvero divide e integra in più parti):

$$\int_0^{\sigma_{vo}} d\sigma_{vo} = \int_0^{H_1} \gamma_1 dz + \int_{H_1}^{H_2} \gamma_2 dz + \int_{H_2}^{z_p} \gamma_3 dz \Rightarrow \sigma_{vo}(z_p) = \sum \gamma_i h_i$$

=> Il grafico delle σ_{vo} presenta cambi di pendenza in corrispondenza del cambio di strato



EQUAZ. INDEF. DI EQUIL. IN DIREZ. ORIZZONTALE

Ottenuta integrando le equazioni indefinite di equilibrio in direzione orizzontale:

non ho T_{xy}, e le T_{xy} sono nulle => resta solo il termine $\partial \sigma_{ho} / \partial x = 0$

Ma quest'eq. non è sufficiente a determinare il valore delle σ_{ho} , l'equilibrio di un elemento di terreno esisterebbe per qualsiasi valore di σ_{ho} , si sa solo che non dipende dalla x.

=> la σ_{ho} varia solo in direzione verticale

Storicamente si è adottato un valore, dato da:

$$\sigma_{ho} = K_0 \cdot \sigma_{vo}$$

dove $K_0 =$ coef. di spinta a riposo

COEFF. DI SPINTA A RIPOSO

In un solo caso il suo valore è facilmente ottenibile, cioè, sotto le ipotesi di condizioni edometriche e un mezzo perfettamente elastico

In laboratorio -> meglio riproduce defor. orizz e permette solo le verticali ->



In sito -> Ades.: su un dato PC, si deposita un nuovo strato.

=> il PC susposto + molto, avrà carico verticale (la sezione orizz. e molto >> della distanza verticale). L'elemento di terreno non può subire def. orizz. (tipo rilevato ^{incolto})

Con questo procedimento si ottiene un risultato puramente teorico, di natura univ. pratica, perché

è tip. su cui si basa e realtà e i terreni reali (sono plastici, non puramente elastici)

=> K_0 è valutato in realtà con formule empiriche

Parto dalle equazioni:

$$\begin{cases} \epsilon_x = \frac{1}{E} [\sigma_x - \nu(\sigma_y + \sigma_z)] \\ \epsilon_y = \frac{1}{E} [\sigma_y - \nu(\sigma_x + \sigma_z)] \\ \epsilon_z = \frac{1}{E} [\sigma_z - \nu(\sigma_x + \sigma_y)] \end{cases} \rightarrow \text{in cond. edometriche: } \begin{cases} \sigma_z = \sigma_{vo} \rightarrow = \sigma_1 (\text{spine max}) \\ \sigma_x = \sigma_y = \sigma_{ho} \rightarrow = \sigma_3 (\text{spine min}) \end{cases} ; \begin{cases} \epsilon_z = \epsilon_v = \epsilon_v \\ \epsilon_x = \epsilon_y = \epsilon_{ho} = 0 \end{cases}$$

Sostituendo:

$$\begin{cases} \epsilon_{vo} = \frac{1}{E} [\sigma_{vo} - \nu \cdot 2\sigma_{ho}] \\ \epsilon_{ho} = \frac{1}{E} [\sigma_{ho} - \nu(\sigma_{vo} + \sigma_{ho})] = 0 \end{cases} \Rightarrow \sigma_{ho} - \nu(\sigma_{vo} + \sigma_{ho}) = 0 \Rightarrow \sigma_{ho} = \frac{\nu}{1-\nu} \sigma_{vo}$$

=> $K_0 = \frac{\nu}{1-\nu} \rightarrow$ per un mezzo elastico $\rightarrow K_0 < 1$, sempre

CONDIZIONI EDOMETRICHE:

- In laboratorio -> cella edometrica
- In sito -> condizioni geostatiche

TENSIONI ORIZZONTALI NELLA CURVA DI SEDIMENTAZIONE

• FASE DI CARICO

Incrementando le σ_v , sono cresciute anche le σ_h (esistenza deform. orizzontali)

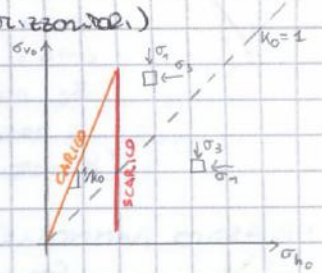
In generale $\rightarrow \sigma_h = K_0 \sigma_v$

Per un materiale elastico $\rightarrow \sigma_h = \frac{\nu}{1-\nu} \sigma_v$

Esteso materiale sciolto, poco supporto de σ_v

Tensioni orizzontali crescono meno delle verticali

Ho $K_0 < 1 \Rightarrow$ asse principale max e' il verticale



• FASE DI SCARICO

Il vincolo cinematico non permette alle σ_h di diminuire, e non x la piccola elasticità del materiale \Rightarrow restano bloccate nel materiale

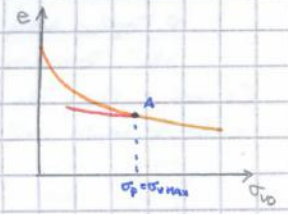
Scaricando, le σ_v diminuiscono, ma le σ_h no, se si scende fino a porre la bivertrice, si arriva nel campo $K_0 > 1$

\Rightarrow cambia l'asse principale max, ora e' l'orizzontale

TEORIA DI PLASTICITA'

Interpretando la curva di compressione con teoria della plasticità

- CURVA VERGINE, o SUPERFICIE DI PLASTICIZZAZIONE e' la curva di pino depositabile. Tutti i punti sopra tale curva non sono frizionante raggiungibili dal materiale.
- DOMINIO ELASTICO = sotto la curva vergine, c'è un comportamento non lineare
- A = punto corrispondente alla tensione verticale di SNERVAMENTO
- / = FASE A COMPORTAMENTO ELASTICO, deformazioni reversibili \rightarrow curva di RIGONFIAMENTO
- / = FASE A COMPORTAMENTO PLASTICO, deformazioni irreversibili



DEPOSITI OC ed NC

DEPOSITO NORMAL CONSOLIDATO \rightarrow NC

La massima tensione verticale a cui e' stato soggetto ogni suo elemento coincide con la tensione verticale attuale: $\sigma_{corrente} = \sigma_{max}$ nella zona remanete

Il suo stato corrente e' rappresentato da un punto sulla superficie di plasticizzazione

DEPOSITO SOVRACONSOLIDATO \rightarrow OC (o preconsolidato)

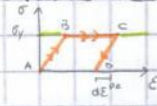
Attualmente, ad esso compete una tensione verticale inferiore a quella raggiunta nel corso della sua storia.

Tensione di preconsolidazione (o snervamento) = max tensione verticale a cui e' stato sottoposto. $\rightarrow \sigma_p = \sigma_{v,max}$

Il suo stato corrente si trova sulla curva di rigonfiamento.

CURVE VERGINI nei grafici (σ, ϵ) , per materiali plastici

• PLASTICO PERFETTO



Nei grafici (σ, ϵ) , la superficie di plasticizzazione e' una linea, che divide il campo del grafico in 2:

- sopra = punti non raggiungibili dallo stato fisico del materiale \Rightarrow il corpo può trovarsi solo sotto la linea o su di essa

- sotto = punti che possono essere raggiunti dallo stato fisico del materiale dominio elastico.

A \rightarrow B \Rightarrow deformazioni elastiche nel carico per avere deformazioni plastiche, deve raggiungere la σ_y di snervamento (A-B)

B \rightarrow C \Rightarrow scarico, con deformazioni plastiche

C \rightarrow D \Rightarrow scarico, e tornando a D ho una parte recuperata

RANGE DI VARIAZIONE DEL COEF. DI SPINTA ADIPOSO → Slide 29

Si parte da un cerchio che rappresenta lo stato geostatico di un elemento di terreno (le tensioni principali sono σ_1 e σ_3 e σ_2 radiale). Qui, $\sigma_1 = \sigma_3 \rightarrow$ pressione NC.
Segno il criterio di rottura di Mohr-Coulomb con coesione

- Tenendo $\sigma_1 = \text{cost}$, diminuisco σ_3 fino a trovare il cerchio T_1 all'interno dell'inviluppo di rottura
 \Rightarrow è il cerchio minimo che può trovare, (altrimenti non è possibile, si supera l'inviluppo)
 $\sigma_{1 \text{ min}} = \sigma_3 \rightarrow$ spinta attiva
 $\Rightarrow K_a = \frac{\sigma_3}{\sigma_1} \rightarrow$ coef. di spinta attiva
- Con $\sigma_1 = \text{cost}$, aumento σ_3 fino al cerchio T_2 sull'inviluppo
 $\Rightarrow \sigma_{1 \text{ max}} = \sigma_1 \rightarrow$ spinta passiva
 $\Rightarrow K_p = \frac{\sigma_1}{\sigma_3} \rightarrow$ coef. di spinta passiva

SLIDE 31

Possono rappresentare entrambe le situazioni con un solo cerchio T_3 sull'inviluppo, dipende da come interpreto σ_3 e σ_1 .

Considerando la geometria, trovo 3 equazioni $\rightarrow AC = \frac{\sigma_1 - \sigma_3}{2}$; $\alpha = \sigma_3 + \frac{\sigma_1 - \sigma_3}{2}$; $AC = OC \cdot \sin \varphi$
 Da queste, ottengo a: $\frac{\sigma_1}{\sigma_3} = \frac{1 + \sin \varphi}{1 - \sin \varphi}$

• SPINTA ATTIVA \rightarrow considero i valori come $\rightarrow \begin{cases} \sigma_3 = \sigma_{1 \text{ min}} = \sigma_3 \rightarrow$ cerchio piccolo \\ $\sigma_1 = \sigma_1$ \end{cases}

$$\Rightarrow K_a = \frac{1 - \sin \varphi}{1 + \sin \varphi} \quad \left(= \frac{\sigma_3}{\sigma_1} = \frac{\sigma_3}{\sigma_1} \right)$$

• SPINTA PASSIVA \rightarrow considero i valori come $\rightarrow \begin{cases} \sigma_3 = \sigma_3 \rightarrow$ cerchio grande \\ $\sigma_1 = \sigma_{1 \text{ max}} = \sigma_1$ \end{cases}

$$\Rightarrow K_p = \frac{1 + \sin \varphi}{1 - \sin \varphi} \quad \left(= \frac{\sigma_1}{\sigma_3} = \frac{\sigma_1}{\sigma_3} \right)$$

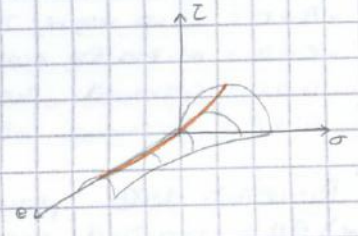
Dev'essere sempre verificato che: $K_a \leq K_0 \leq K_p$

Poiché: $\begin{cases} K_0(NC) = 1 - \sin \varphi > K_a \\ K_0(OC) = K_0(NC) \cdot \sqrt{\frac{1 + \sin \varphi}{1 - \sin \varphi}} < K_p \end{cases}$

MODELLO CAM CLAY

Collega l'inviluppo di rottura e la plasticizzazione. Modello 3D

Superficie di plasticizzazione sferica. Su di essa, individua le curve dello stato critico, misce. Tutti i punti normali dei cerchi. Se è previsto sul piano (τ, σ) , trovo la curva di Mohr-Coulomb dello stato critico



PROVE DI LABORATORIO

Queste servono di volta in volta i parametri fondamentali dei modelli usati e il comportamento meccanico dei terreni (ovvero, le leggi costitutive fondamentali: Teoria dell'elasticità e della plasticità).

Prove principali per caratterizzazione dei terreni:

- TRASSIALE \rightarrow è la prova completa
- TAGLIO DIRETTO \rightarrow troviamo i parametri di resistenza e la coesione
- EDOMETRICA \rightarrow finalizzata a trovare i parametri di deformabilità (con individuazione delle curve) inoltre, si può trovare il coeff. di consolidazione, di rigido e elastico

- TRASSIALE
- TAGLIO DIRETTO
- EDOMETRICA

PROVA EDOMETRICA \rightarrow Slide 40

Permette di simulare la fase di deposizione del terreno, ed eventualmente le successive fasi di sovraccarico e ricarico

Campione \rightarrow posto in cella senza tensioni. Anche rigido laterale evita lo sviluppo deformazioni laterali. Campione \rightarrow immerso in acqua, che è la prova non fatta con campioni nativi, con tutti i pori pieni d'acqua (effetto di acqua = determina lo sviluppo di deformazioni nel corso del tempo, non immediata) \Rightarrow mettendo acqua, si evita una desaturazione; inoltre, in fase di carico il campione tende a rigonfiarsi e il settore nativo deve assorbire acqua dall'esterno.

- Intersezione tra b e E_0 ^{rete} ~~curva~~ di pendenza b curva vergine = σ_p
 (code nel range \Rightarrow accettabile) ↗ mezzo tratto elastico
- $M =$ valore minimo di σ_p possibile nell'interpretazione } non proprio gli estremi del range,
- $N = \sigma_{p\max}$ possibile (intersezione rette RR-CE) } giacchio nella curva vergine

LEGAMI TRA MODULO ELASTICO E MODULO ELOMENTARICO - DIMOSTRAZIONE

$M \rightarrow$ rappresenta la rigidità del terreno sottoposto a carichi in condizioni edometriche
 $m_v =$ compressibilità edometrica, e la deformabilità del terreno sottoposto a carichi in condizioni edometriche

Portata dell'ipotesi di un'ondamento elastico

Equazioni di potenza \rightarrow
$$\begin{cases} E_1 = \frac{1}{3} E [\sigma_1 - \nu(\sigma_2 + \sigma_3)] \\ E_2 = \frac{1}{3} E \\ E_3 = \frac{1}{3} E \end{cases}$$



\rightarrow sostituendo:
$$\begin{cases} \sigma_1 = \sigma_v \\ \sigma_2 = \sigma_3 = \sigma_h \end{cases} \quad e \quad \begin{cases} E_1 = E_v \\ E_2 = E_3 = 0 \end{cases}$$

$$\Rightarrow E_h = \frac{1}{3} E [\sigma_h - \nu(\sigma_v - \sigma_h)] = 0$$

$$\Rightarrow \begin{cases} \frac{1}{3} E = 0 \rightarrow \text{impossibile, } E \neq \infty \\ \sigma_h - \nu(\sigma_v - \sigma_h) = 0 \Rightarrow \sigma_h = \frac{\nu}{1-\nu} \sigma_v \end{cases}$$

Sostituendo nella 1^a equazione:

$$E_v = \frac{1}{3} E [\sigma_v - \nu(2\sigma_h)] = \frac{1}{3} E [\sigma_v - 2\nu \cdot \frac{\nu}{1-\nu} \sigma_v] = \frac{E}{3} \left[\frac{1-\nu-2\nu^2}{1-\nu} \right]$$

$$\Rightarrow \frac{d\sigma_v}{dE_v} = M = \frac{1}{m_v} \Rightarrow m_v = \frac{1}{E} \frac{1-\nu-2\nu^2}{1-\nu}; \quad M = \frac{1}{m_v} = \frac{E(1-\nu)}{1-\nu-2\nu^2}$$

Pero, nella prova edometrica, l'ondamento non è elastico
 $\Rightarrow M$ non è cost, e la pendenza di questa curva nei vari punti.

PASSAGGIO TRA I GRAFICI $(E_v, \log \sigma_v)$ E $(e, \log \sigma_v)$ - SLIDE 47

I due grafici sono identici a meno del termine $-\frac{1}{1+e_0} \rightarrow \Delta E_v = -\frac{1}{1+e_0} \Delta e$

Grafico $(E_v, \log \sigma_v) \rightarrow$ (metà gli ondati, rettificati.

Si ottiene, essendo in campo elastico $\rightarrow RR \approx SR$

Sperimentalmente $\rightarrow CR \approx 5 \cdot RR \rightarrow CR$ è maggiore, essendo in campo plastico

Grafico $(e, \log \sigma_v) \rightarrow$ $c_c =$ indice di compressione
 $c_s = c_r$, curva.

Tutte queste pendenze sono costanti sul piano semilogaritmico \Rightarrow ondati elastici.

Sul piano ortometrico, avrà pendenze non costanti ed un ondati non elastico

Legami tra le pendenze:

$$RR = \frac{c_r}{1+e_0}; \quad CR = \frac{c_c}{1+e_0}$$

Dall'indice di compressione c_c si può ricavare m_v : \rightarrow procedimento nella slide

$$dE_v = \frac{c_c \cdot 0,43}{(1+e_0) \sigma_v} d\sigma_v \quad \text{con: } m_v = \frac{c_c \cdot 0,43}{(1+e_0) \sigma_v} \rightarrow \text{slide 51}$$

Possono ripetere tutto sulle altre curve; sulla curva vergine $\rightarrow m_v = \frac{1}{M} = \frac{c_c \cdot 0,43}{(1+e_0) \sigma_v} = \frac{RR \cdot 0,43}{\sigma_v}$
 in entrambi i casi: $m_v = m_v(\sigma_v) \neq \text{cost}$, le relazioni non sono costanti.

Pendenze $\rightarrow RR, c_r, CR, c_c \rightarrow$ usate \times ricavare i parametri di deformabilità elastici equivalenti, nei tratti di variazione lineare di interesse, o direttamente \times ricavare i cedimenti degli strati di terreno tenero da cui sono stati prelevati i campioni

SLIDE 49/52 = parametri e rapporti tra essi

STIMARE I CEDIMENTI \rightarrow slide 53

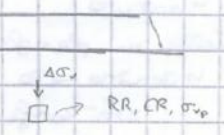
ha bisogno di varie valutarci i cedimenti di uno strato di terreno di spessore H_0 , sotto un rilevato stradale di cui conosco le dimensioni, dopo aver ricavato i parametri di compressibilità dalla prova edometrica

Si distinguono 3 casi:

1) $\sigma_{vp} = \sigma_{v0} + \Delta\sigma_v < \sigma_p \Rightarrow S = \Delta H = H_0 \cdot RR \cdot \log \frac{\sigma_{v0} + \Delta\sigma_v}{\sigma_{v0}}$

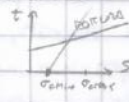
\Rightarrow Terreno nella OC,

il campione non raggiungerà mai la curva vergine, il nuovo sempre sulla curva di ricomprensione

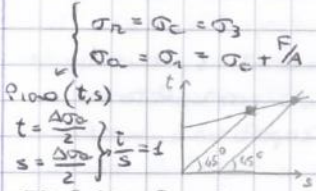
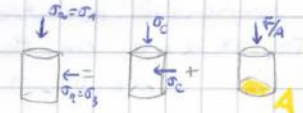


Testo del campione → collegato ad un lato verticale → permette di applicare carichi verticali
 Liquido nella serie x rapporto al campione in carico isotropo, $\sigma_1 = \sigma_2 = \sigma_3$ di cella è uguale in tutta la cella, regolabile con una valvola.

Prove TX → misure uno stato tensionale assiale simmetrico, le 3 tensioni principali sono note.
 Se sottoposto a prova di compressione isotropa → quando avete le tensioni, $\sigma_1 = \sigma_2 = \sigma_3$ → non provocare a rottura (invece, in prova edom, aumentato σ_1 aumentato x forza anche σ_2 , ma i valori non erano uguali).
 Sul piano (t,s) vediamo questa cosa, → dove le x orizzontale della rottura deve avere quella retta secondo il criterio di rottura → deve bloccare σ_3 e anche σ_1



Sperimentazione → attraverso F_A e σ_2 regolo le tensioni principali totali nel campione (σ_1, σ_3)
 - F_A : forza verticale indotta dal pistone
 - σ_2 : isotropo, indotta da acqua di cella
 I contributi tensionali nel campione sono 2, che si sommano: →



Nota: $F_A/A = q = \sigma_1 - \sigma_3$ → uguale alla tensione deviatorica definita con riferimento ad uno stato tensionale assiale-simmetrico
 ⇒ Se mantenuto tanto F ⇒ arrivo a rottura

INTERPRETAZIONE CON INVARIANTI

Al posto di usare le tensioni, sono usate invarianti:

- Assumendo ad uno stato piano
 - ⇒ introduce → Tensione media → $s = \frac{\sigma_1 + \sigma_2}{2}$
 - Tensione di Taglio → $t = \frac{\sigma_1 - \sigma_2}{2}$
 - ⇒ associate ad esse → deformaz. volumetrica bidimensionale → $\epsilon_v^{(2D)} = \epsilon_a + \epsilon_r$
 - deformazione di Taglio → $\epsilon_s^{(2D)} = \epsilon_a - \epsilon_r$

- Assumendo al caso 3D → e' il + simile a questo prova
 - ⇒ introduce → Tensione media 3D → $p = \frac{\sigma_1 + 2\sigma_2}{3}$
 - Tensione deviatorica → $q = \sigma_1 - \sigma_2$

[Interpretazione fisica di q, dal punto di vista della modellazione operativa della prova]

- ↳ $q = \sigma_1 - \sigma_2 = \sigma_1 + \frac{F}{A} \sigma_2 \Rightarrow q = \frac{F}{A}$
- ⇒ associate ad esse → deformaz. volumetriche 3D → $\epsilon_v^{(3D)} = \epsilon_a + 2\epsilon_r$
- ↳ deformaz. di Taglio → $\epsilon_s = \frac{2}{3}(\epsilon_v - \epsilon_r)$

PROPRIETA' dei sistemi di tensioni e deformazioni di questo tipo → qualunque tipo di rappresentazione in termini, il lavoro compiuto dalle tensioni, deagiscono sul piano ha lo stesso espansione:

$$dW = \sigma_1 d\epsilon_1 + \sigma_2 d\epsilon_2$$

Sostituendo con gli invarianti → $dW = s \cdot d\epsilon_v + t \cdot d\epsilon_s$
 Nel caso 3D → $dW = p \cdot d\epsilon_v + q \cdot d\epsilon_s$

Adell'espressione del lavoro → Trovo il legame costitutivo → $\begin{Bmatrix} dp \\ dq \end{Bmatrix} = \begin{bmatrix} \text{matrice delle} \\ \text{rigidizzate} \end{bmatrix} \begin{Bmatrix} d\epsilon_v \\ d\epsilon_s \end{Bmatrix}$

Se rappresento la matrice con legame elastico $\begin{cases} \Delta p \Rightarrow \Delta \epsilon_v \\ \Delta q \Rightarrow \Delta \epsilon_s \end{cases}$
 ⇒ Tutti zero fuori della diagonale, perché → $\begin{cases} \Delta p \Rightarrow \Delta \epsilon_v \\ \Delta q \Rightarrow \Delta \epsilon_s \end{cases}$
 Ha → Terreni, fanno comportamento elastico → qst tipo di corrispondenza non è soddisfacente
 ⇒ Tra i termini possono essere ≠ 0, perché → $\begin{cases} \Delta p \Rightarrow \Delta \epsilon_s, \Delta \epsilon_v \\ \Delta q \Rightarrow \Delta \epsilon_v, \Delta \epsilon_s \end{cases}$

PERCORSI DI CARICO REALI → Slide 22

Percorsi tensionali reali di un elemento di terreno sotto opere geotecniche

H_p → Stato tensionale di partenza e geostatico

⇒ Prese non portate da parte S, ne + medio

- a) → CC. Sotto un punto ⇒ $\Delta\sigma_v > 0$; $\Delta\sigma_3 = 0$ → diverso dal caso di fondazione con sezione orizz. sotto carico, e. avere condiz. edom, nessuno rottura × taglio → $\Delta\sigma_v > 0$, $\Delta\sigma_3 = k_0 \Delta\sigma_v$
 A → B = presenza foto del terreno nelle condiz. geostatiche delle condiz. mai il carico è esercitato dal terreno → tale caso non deve interviene criterio di rottura.
- b) → ES → $\Delta\sigma_v < 0$, $\Delta\sigma_3 = 0$
- c) → CS → $\Delta\sigma_3 < 0$
 ⇒ Opera di sostegno non è in grado di dare al terreno a tergo un tensione pari a quella di era dato dal terreno naturale
- d) → ES → $\Delta\sigma_3 > 0$
 ⇒ (Per essere foto × andare in rot. di un parte). Al blocco è fornita una forza da B spruzza verso il terreno a tergo

2.0 PROVA DI TAGLIO DIRETTO

Po' essere interpretata direttamente nel piano (τ, σ)

Permette di determinare solo i parametri di resistenza (coesione e resistenza al taglio) e non i parametri di deformazione

Slide 3

Scatole di taglio = contenitore a pianta quadrata o circolare costituito da 2 parti, in grado di scorrere tra loro (le parti sopra e fono)

Carpione → rettangolare, ~ 10 x 10 cm

Si applica una forza verticale si deve applicare, ed essa è applicata attraverso un coperchio simmetrico del contenitore del carpione

Una forza orizzontale applicata alla parte inferiore induce lo scorrimento (piccoli spazi di taglio), e si misurano gli spostamenti verticali ed orizzontali tra le 2 parti.

Insieme a taglio fino alla rottura ⇒ conoscere σ di supporto essere σ di rottura.

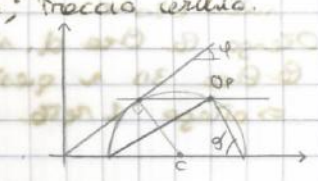
⇒ Da questa prova ricaviamo una coppia (τ, σ) che proprio appartiene al cerchio di Mohr, ma ci sono infiniti cerchi di passo × quel punto ⇒ esso non è sufficiente a ricavare informazioni sullo stato tensionale del terreno, c'è incertezza.

⇒ HP → La rottura avviene su un piano orizzontale (ipotesi reale, favorita dalle condizioni al contorno) ⇒ tensioni principali sono inclinate di θ

⇒ quel punto corrisponde all'intersezione tra cerchio e asintoto di rottura

⇒ traccia orizzontale; traccia Ca ne ⊥; traccia C del cerchio; traccia verticale.

Per trovare l'angolo di attrito da una sola prova, si deve avere $h_p \rightarrow c=0 \Rightarrow \tan \varphi = \frac{\tau_n}{\sigma_n}$



Di solito, si usano 3 prove su cui si impiegano 3 tensioni verticali diverse ($\sigma_{n1}, \sigma_{n2}, \sigma_{n3}$) ⇒ si ricavano 3 punti diversi ($\tau_{n1}, \tau_{n2}, \tau_{n3}$)

⇒ Dei 3 punti, traccia la retta di regressione e si trova la intercetta, così si trova anche Ca.

Prova di taglio diretto = simula stato tensionale e deformativo di un carpione di terreno lungo una superficie di scorrimento

Prova di taglio semplice = induce nel carpione una deformazione più omogenea: il carpione è verso in una membrana di lattice rinforzata, contenitore e la forza crescente. Anche qui, per definire qual'è il cerchio, faccio h_p da il piano di rottura sia orizzontale

CONFRONTO TRA LE 3 PROVE

• EDOMETRICA → permette di ricavare:

- Moduli edometrici (= moduli elastici equivalenti)
- Storia dello stato tensionale

Terreno nei confronti campo plastico ⇒ storia tensionale importante.

Permette di ricavare la max tensione cui è mai stato sottoposto -

⇒ distinguere Terreni NC da OC, e vedere le differenze di comportamento nel diagramma Tensioni - deformazioni

• TRIASSIALE

- Parametri di resistenza
 - Parametri di deformazione
- Prova interpretabile × la resistenza al taglio, ad esempio.
 Permette di approssimare il Terreno come materiale elastico perfettamente plastico, ricavandone i parametri

• TAGLIO DIRETTO

- Parametri di resistenza

Qst prova è un chiaro esempio di differenziazione da materiale elastico perfetto: elemento di terreno ha una diminuzione dell'altezza della banda di taglio

⇒ diminuzione di V ⇒ dilatazione negativa ⇒ il materiale non si comporta in modo elastico perfetto (× esserci, dovrebbe esserci dilatazione = angolo dilatativo)

Diminuzione di V tende ad azzerarsi, quando si raggiunge valore di resist al taglio

21

MATERIALE PLASTICO PERFETTO - RIASSUNTO

Per definire un materiale plastico perfetto:

- Biorientazione plastica deve concidere col criterio di rottura
 ↳ in tal caso → Banda di taglio coincide con direzioni di NE
 ↳ lungo esse, si fa E_0 max o rottura.
- Dev'essere in equilibrio tra resistenza e deformazioni.

Angolo di svolta positivo:

a cavallo di Banda di taglio, il movimento relativo dei 2 blocchi ha una componente // superficie di scorrimento ed \pm ang ψ → dilatazione, tale cui si forma un angolo tra superficie e movimento

Materiale orientato ⇒ $\psi = \varphi$

Materiale piuma zero ⇒ $\psi = 0$, non ha angolo di dilatazione

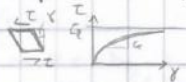
⇒ vettore di spostamento relativo è // alla banda di taglio

Materiale non plastico perfetto

⇒ Banda di taglio ≠ direzioni NE ⇒ $\psi \neq \varphi$

Aspetti generali → slide 3-4

Esempio → compressione e distorsione



→ Tensione deviatorica semplice

In un aumento non porta sempre ad una diminuzione di volume, dipende se sia in campo plastico o elastico

Andamento spazi-deformazioni → crescita di tensione deviatorica fa diminuire la resistenza

↳ Terreno diventa sempre più deformabile, fino ad avere limite di resistenza, che è T_r di rottura. Comportamenti del Terreno orientato e allineato



→ Tensione isotropa

In un aumento porta ad una diminuzione di volume delle deformazioni

⇒ Comportamento ~ non deviatorico, si restringe se ⇒ migliora se si caratteristiche meccaniche, onde la resistenza al taglio

Se ruotata di 30°, questa curva si produce bene ~ le curve edometriche

L'equazione diventa $\rightarrow \frac{\tau_{ob}}{\sigma_n} = \tau_g \varphi_p = \tau_g (\varphi_v + \alpha)$

dove $\alpha = \varphi_v =$ angolo dilatato che coincide con l'angolo di attrito a volume costante ("constant volume").

Si verifica ma ignori in condiz. di stato, con dilatazione nulla, cioè $\alpha = \varphi$ e deformazioni τ_g (che avvengono senza deformazioni volumetriche)

\downarrow È un parametro di base (caratt. del terreno, indip. dalle macchine)

Limite inferiore di resistenza, non si può mai essere sotto questo valore

$\alpha = \varphi =$ angolo di dilatazione \rightarrow parametro di stato

Dipende dal grado di densità e stato della sabbia quando inizia a lavorare

Un aumento di volume cioè questo supplemento di resistenza

È direttamente funzione di \rightarrow densità relativa

\rightarrow tensione di confinamento

Più un terreno è denso e meno è confinato in triassiale \Rightarrow stato posto a taglio, maggiore è la sua resistenza alla distorsione

$\alpha = \varphi_p =$ di picco

Per materiali plastici perfetti \rightarrow incongruenza:

\hookrightarrow hanno $\varphi_p = \varphi$. Ma φ_p è la max resistenza di punta oltre

\Rightarrow delimitare $\varphi_v = \alpha$, attrito puro tra i grani del terreno = nulla

\Rightarrow contraddittorie di energia \rightarrow contraddizione di questo modello

\Rightarrow in condizioni drenate, un terreno non può essere plastico perfetto

Ma, qst. stato approssimativo funziona bene da più di un punto di vista pratico - ingegneristico

ESEMPIO DI PROVA DI TAGLIO SEMPLICE: CAMPIONE DI SABBIA DENSE - Slide 13

Materiali ad alta densità relativa. Applicazione σ_n inizia ad aumentare T , e dopo evidenzia il grafico:

GRAFICO ($\tau_g \varphi = \frac{\tau_{ob}}{\sigma_n}, \sigma_n$) \rightarrow curva di resistenza

\hookrightarrow Picco raggiunto in corrispondenza della max φ . Poi, la tendenza della dilatazione diminuisce fino ad annullarsi, resistenza decade fino ad una resistenza critica $\rightarrow \tau_g \varphi_c$

GRAFICO (ϵ_v, σ_n) \rightarrow deformazione volumetrica

- Parte iniziale \rightarrow fase in cui c'è la tendenza a diminuire il v

- Poi \rightarrow aumento di v

Il picco della curva corrisponde al punto di flesso

\Rightarrow Percorso fino al picco di resistenza avviene con aumento di $v \Rightarrow \varphi < 0$

- Poi \rightarrow curva si appiattisce, non ci sono aumenti di volume

\Rightarrow Regime vicino di stato drenato \rightarrow angolo di resistenza al taglio corrispondente è φ_c

GRAFICO (ϵ, σ)

- Parte iniziale è soggetta a diminuzione iniziale di ϵ

- Flesso in corrispondenza del minimo φ

Forma ed andamento qualitativo della curva \Rightarrow a curve ϵ_v

Gradiente della curva $\rightarrow \varphi = \frac{\partial \epsilon_v}{\partial \sigma}$

\hookrightarrow derivata della curva proporzionale a tutta la parte della curva ($\tau_g \varphi, \sigma$) sopra il valore φ_c

ESEMPIO DI PROVA DI TAGLIO SEMPLICE: CAMPIONE DI SABBIA MENO DENSE \rightarrow Slide 14

Materiali più sciolti, dopo la stessa prova \rightarrow parametri di stato che entrano in gioco non \rightarrow D_r e σ_n (tensione di confinamento)

GRAFICO ($\tau_g \varphi, \sigma_n$) \rightarrow curva forza-deformazioni

La tendenza alla distorsione negativa si riduce fino ad annullarsi in corrisp. di $\tau_g \varphi_c$

\Rightarrow Per grandi deformazioni, sia densità che sciolto arrivano allo stesso valore, cioè il valore della resistenza e deformazioni a volume cost. è funzione solo di mineralogia e caratteristiche della sabbia \rightarrow parametri di base

GRAFICO (ϵ_v, σ_n) \rightarrow specchio al grafico delle sabbie dense

GRAFICO (ϵ, σ)

Apartire di tensioni di confinamento, a grandi deformazioni raggiunge lo stesso e del densa \rightarrow ϵ_{cp} = indice dei vuoti critico, quando le deformazioni sono nulle (non ci sono variazioni di v)

La parte prima della curva \rightarrow cioè la densità

GRAFICO (e, σ_n)

- Ho 3, portata 13 punti, dei 3 campioni \rightarrow ordinate = e (o D_r , cambiando direzione)
- CSL = linea dello Stato Critico \rightarrow luogo dei punti in corrispondenza dei quali il terreno si trova allo stato critico. Lì, se sollecitati a taglio il terreno, esso non dà deformazioni di volume (né contrazione né dilatazione), dà solo un resist. al taglio.
- Sopra la curva \rightarrow stati dei materiali de , se sollecitati a taglio puro, danno contrast. volumetrica. Possono al max raggiungere CSL; Lì, non hanno + deform. volum. Materiali con d_{50} e σ_n \otimes
 - Sotto la curva \rightarrow Materiali de , se sollecitati da tensioni perpendic. tangenziali, possono forse quel percorso, al massimo fino allo stato critico. Per sabbie dense \Rightarrow picco è a $1/3$ del percorso verso CSL \rightarrow dilatazione, e cresce.
- \otimes A ROTURA, l'angolo di comportamento di materiali con resist. al taglio pari a T_9 \rightarrow
- CSL \rightarrow limiti della curva = assi cartesiani.
- Ogni materiale ha una sua CSL, che è un parametro di base x il terreno; e i grafici di riferimento de ce ne dice il comportamento.

GRAFICO (σ_n, T_n)

- Si può tracciare il reale involucro di rottura per il terreno \rightarrow non è lineare.
- Si traccia la retta ϕ_{cv} (parametro di base x sabbie, non varia), l'pt. si innalza dopo un certo valore di σ_n sino a $\phi_{cv} \Rightarrow$ e lì sopra.
- Per i pt. prima: quello che coord. del pt. nel grafico (σ_n, T_n), traccio 1 rete mista di quel ϕ , ne prendo il punto a quella σ_n .
- Usando tutti i pt., tratto il involucro di rottura, che è curvilineo prima di un certo σ_n .
- Questi adamenti sono per essere usati o tratti x applicare modelli.
- \otimes
- Comportamento è dato dalla coppia di param. di stato (D_r, σ_n)
- \Rightarrow anche una sabbia molto densa, se ha una sufficiente σ_n , può portare sopra ϕ_{cv} e comportarsi come sabbia sciolta, e viceversa.
- Sabbie (e argille + o -) \rightarrow non si può ottenere un ϕ_{cv} inferiore a quello dato da q1° grafico \Rightarrow è 1 limite inferiore. Per sabbie quozzose $\rightarrow \sim 33^\circ \div 34^\circ$

Sopra slide 13 \rightarrow disegno del modello (con clay)

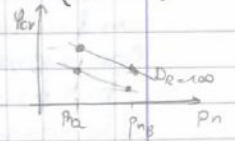
- Passiamo unire i grafici di involucro di rottura e medie dei vortici corrispondanti
- Per ogni e , traccio l'andamento dell' involucro reale di rottura (curvilineo a resist. \otimes)
 - Sotto stato critico, si vuole sperimentale può prolungare la linea fino al piano orizz. \Rightarrow si crea galleria, con cui posso valutare l'andamento di resist. e deformazioni campo plastico x materiali incoerenti e tendenti.
 - Linea di stato critico \rightarrow unisce i punti d'intersezione tra la superficie di plasticizzazione ed il piano dato dalle rette ϕ_{cv}
 - Proiezione di tale linea sul piano (σ_n, e) \rightarrow CSL fatto prima in 2D
- Questa superficie è la superficie di plasticizzazione e potenziale x materiale incoerente e tendente.
- Punto sotto la superficie \rightarrow si comporta in modo elastico / come frag. e : picco e poi cade \otimes
- Quando i punti toccano la superficie, materiali si muovono in campo plastico su di essa, non la possono superare.
- Punto sopra CSL \rightarrow materiale scivola sottoposto ad alte σ_n \rightarrow Materiale scende, tocca la superficie, si muove su di essa fino ad incontrare CSL, valore critico.
- \otimes x campione denso: carico prima un picco, poi onde ϕ , restano CSL e calano.

SABBIE DENSE \rightarrow involucro di rottura curvilineo, approssimabile con:

- sabbie \rightarrow angolo di attrito reale di picco e $c=0$
- argille \rightarrow ϕ_c , con ϕ_c e c = coesione fittizia o apparente

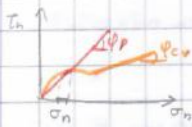
- a) Sabbia spinge nel sottogelo (superficiale) } stessa D_r e stessa morfologia
- b) Sabbia e sotto (profonda)

L'angolo di attrito φ_{cu} è diverso nei due casi. \rightarrow che varia la resistenza confinata ($b \gg a$)
 \rightarrow Angolo φ_{cu} di progetto a) \gg angolo b) \rightarrow lo vede dal grafico (φ_{cu}, p_n) \rightarrow
 Ma la resistenza resta uguale



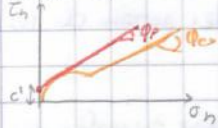
INTERAZIONI

SABBIE



\rightarrow curva di sviluppo di rottura \rightarrow rappresentata da 1 linearizzazione
 $\varphi_p =$ Nel campo di variazione di interesse (σ_n), i.e. quello φ_p recente
 $\varphi_p < \varphi_{cu}$, ma φ_{cu} ad altre tensioni, deve essere

ARGILLE



\rightarrow Sovracoesione: curva molto acuita
 $\Rightarrow \varphi_p$ è l'angolo delle T_g , e $\varphi_p > \varphi_{cu}$
 c = coesione apparente, e' intersezione di φ_p
 P_{cu} capitate da $\varphi_p < \varphi_{cu}$, che è 1 modo la coesione reale mediante
 dreni e nella misura \Rightarrow rette reali pensate e l'origine

DEFORMABILITÀ \rightarrow Slide 24

Vogliamo definire i parametri della deformazione e i calcoli dei progetti.

Vediamo caso: comp. deviatorica \gg comp. isotropa.

Terrivo \rightarrow tratto iniziale lineare \rightarrow corrispondenza di un individuo "modulo T_g iniziale"
 che è il modulo di rigidità iniziale \rightarrow descrive la piccola deformazione iniziale.

Approssima cura all'inizio, facendo 1 linearizzazione riferita al modulo di Young.

Moduli elastici equivalenti = buona approssimazione del comportamento del terreno.

Materiali sovracoesivi $\rightarrow E_3 =$ modulo di ricerca, riferito al cubo di terra e marcia, interpretata e linearizzata bene quel tratto

\times trovare il modulo di ricerca, deve tener conto di 6 parametri: $E = f(\gamma, SH, D_r, \sigma'_v, S, t)$

- γ = livello di deformazione
- SH = stress history, storia della stato termale \rightarrow a punto di deformazione, se un materiale OC la già percorso tutto questo, a punto di stato tensionale avrà 1 rigidità maggiore (come la differenza tra E_3 ed E_2)
- D_r = densità relativa } poram unitato la influenza anche la resistenza.
- σ'_v = tensione isotropa } materiale + denso \Rightarrow confinato + elevato \Rightarrow rigidità
- S = orientamento delle tensioni principali a causa dell'anisotropia; ovvero angolo rispetto alla direz principale su cui agisce momento di coesione.
- Tensioni principali max \rightarrow verticali. X terreni NC e così. X terreni OC, le direz possono diventare verticali
- t = fattore tempo, inteso in termini di viscosità precessa e recedono \rightarrow terreni fine compaction viscoso, cioè cedono cost sul lungo periodo (x materiali coesivi) sono deformaz viscosi e colano cost; oppure interazione viscosa al liquido interstiziale x terreni a grana fine; comportamento viscoso e nella accretione soprattutto x le argille NC.
- σ'_v del deposito \rightarrow rigeneramento di ordine x diagenesi (microcristallizzazione)

MODULO DI TAGLIO G \rightarrow Slide 26

Esistono metodi grafici di prova in sito x valutare la rigidità del terreno, basati sulla misura della velocità delle onde (T_g e B_g) (verticali) che possono attraversare il terreno

A piccole deformazioni, si può trovare il modulo elastico equivalente

Nota G_0 , ricavare il corrispondente modulo x il cubo di cemento, che è $\sim 30\%$ di quello calcolato con le prove geofisiche

Moduli di resistenza del terreno $\rightarrow f(\sigma'_v, \sigma'_v, v^2)$

Grafico = adoneto adimensionalizzato del decadimento del modulo di taglio G con il livello di deformazione

G/G_0 = curva ODG al livello di deformazione

\rightarrow deve conoscere la deformazione reale di interesse x la scelta dei parametri di deformazione

\rightarrow slide 27